

16. Kurvenintegrale und der Satz von Stokes

16.1. Kurvenintegrale

Generalvoraussetzung: $I \subseteq \mathbb{R}$ kompaktes Intervall
 $\kappa: I \rightarrow \mathbb{R}^d$ C^1 -Kurve mit
 C^1 -Kurvengogen $\Gamma_n =: \Gamma$

16.1. Definition

• Sei $f: \Gamma \rightarrow \mathbb{R}$ $\mathcal{B}_n \Gamma$ -messbares Skalarfeld mit $(f \circ \kappa) |\kappa'| \in L^1(I)$
Kurvenintegral (für Skalarfeld)

$$\int_{\kappa} f(x) dx := \int_I f(\kappa(t)) |\kappa'(t)| dt$$

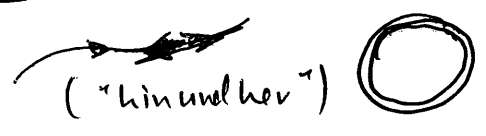
• Sei $A: \Gamma \rightarrow \mathbb{R}^d$ $\mathcal{B}_n \Gamma$ messbares Vektorfeld mit $(A \circ \kappa) \cdot \kappa' \in L^1(I)$
Kurvenintegral (für Vektorfelder)

$$\int_{\kappa} A(x) \cdot dx := \int_I A(\kappa(t)) \cdot \kappa'(t) dt$$

• C^1 -Kurve κ geschlossen: $\Leftrightarrow \kappa(\min I) = \kappa(\max I)$
 In diesem Fall auch übliche Notation:

$$\oint_{\kappa} f(x) dx, \quad \oint_{\kappa} A(x) \cdot dx$$

16.2. Bemerkung: (a) κ nicht injektiv \Rightarrow (Teile von) Γ
u.U. mehrfach durchlaufen:



(b) Falls $\kappa(I) = \Gamma$ 1-dim

C^1 -Mfht und \exists Nullmenge $N \subseteq \mathbb{R}$ mit $\kappa: I \setminus N \rightarrow \Gamma$
Karte

$$\Rightarrow \int_{\kappa} f(x) dx = \int_{\Gamma} f(x) dx \quad (\text{nach 15.22})$$

$$[\text{Bsp.: } \Gamma = S^1, \quad \kappa: [0, 2\pi] \rightarrow S^1] \\ t \mapsto \begin{pmatrix} \cos t \\ \sin t \end{pmatrix}$$

Von nun an gelte: Alle Kurven, bis auf eine Nullmenge, injektiv!

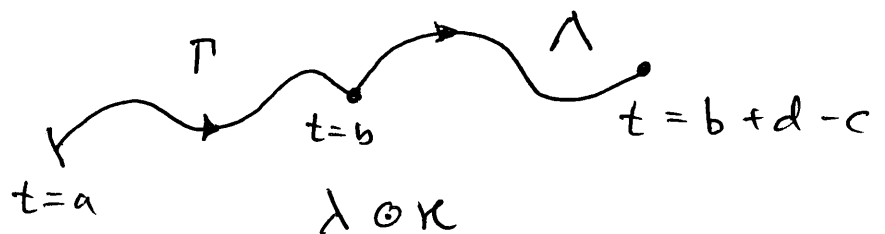
16.3. Definition • für $\kappa: [a, b] \rightarrow \Gamma$ C^1 -Kurve

$$\text{Sei } \kappa^-: [a, b] \rightarrow \Gamma \quad (C^1\text{-Kurve}) \\ t \mapsto \kappa(b+a-t) \quad (\kappa \text{ r\u00fcckw\u00e4rts durchlaufen})$$

- Sei $\lambda: [c, d] \rightarrow \mathbb{R}^d$ C^1 -Kurve mit C^1 -Kurvenbogen Λ mit $\kappa(b) = \lambda(c)$

$$\lambda \circ \kappa: [a, b+(d-c)] \rightarrow \Gamma \cup \Lambda \\ t \mapsto \begin{cases} \kappa(t), & t \in [a, b] \\ \lambda(t-b+c), & t \in [b, b+d-c] \end{cases}$$

Aneinander-
Kettung von κ und λ



- κ st\u00fcckweise C^1 -Kurve: \Leftrightarrow

$$\exists n \in \mathbb{N} \text{ und } \kappa_1, \dots, \kappa_n \text{ } C^1\text{-Kurven mit} \\ \kappa = \kappa_n \circ \dots \circ \kappa_1$$

- seien κ, λ C^1 -Kurven wie oben und $f: \Gamma \cup \Lambda \rightarrow \mathbb{R}$ messbar

$$\text{Setze } \int_{\lambda \circ \kappa} f(x) dx = \int_{\lambda} f(x) dx + \int_{\kappa} f(x) dx$$

- falls beide Integrale auf rechter Seite existieren
- analog f\u00fcr Vektorfelder (siehe 16.1)
 - falls $\lambda \circ \kappa$ sogar C^1 -Kurve, dann im Einklang mit Def. 16.1.

16.4 Lemma | Sei $\kappa: I \rightarrow \Gamma$ eine stückweise C^1 -Kurve.

Sei $\tilde{I} \subseteq \mathbb{R}$ kpt.'es Intervall, sei $\varphi: I \rightarrow \tilde{I}$ ein Homöomorphismus, der auf $\overset{\circ}{I}$ & $\overset{\circ}{\tilde{I}}$ (Innen) ein Diffeom. ist.

Dann ist $\tilde{\kappa} := \kappa \circ \varphi^{-1}$ stückweise C^1 -Kurve mit $\tilde{\Gamma} = \Gamma$ und für alle messbaren Skalarfelder $f: \Gamma \rightarrow \mathbb{R}$ und alle messbaren Vektorfelder $A: \Gamma \rightarrow \mathbb{R}^d$ gilt

$$\int_{\kappa} f(x) dx = \int_{\tilde{\kappa}} f(x) dx \quad (\text{falls eine Seite exist.})$$

$$\int_{\kappa} A(x) \cdot dx = \sigma \int_{\tilde{\kappa}} A(x) \cdot dx \quad (\text{falls eine Seite exist.})$$

wobei $\sigma := \text{sgn } \varphi'(t)$ (unabh. von $t \in \overset{\circ}{I}$)

Insbesondere:
$$\int_{\kappa} A(x) \cdot dx = - \int_{\kappa^{-1}} A(x) \cdot dx$$

(abhängig von Richtung, in der Γ durchlaufen)

Beweis: • benutze $\kappa'(t) = \tilde{\kappa}'(\varphi(t)) \varphi'(t) \quad \forall t \in \overset{\circ}{I}$
& substitutionsformel, falls κ C^1 -Kurve

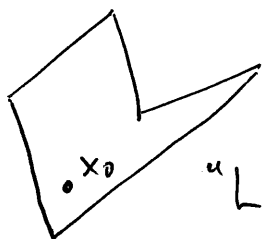
• im allg. Fall, zerlege zuerst in C^1 -Kurven $\kappa_v, v=1, \dots, n$

16.5. Definition | Sei $B \subseteq \mathbb{R}^d$

B sternförmig : $\Leftrightarrow \begin{cases} \exists x_0 \in B : \forall x \in B \text{ gilt} \\ \{x_0 + \tau(x - x_0) : \tau \in [0, 1]\} \subseteq B \end{cases}$

(bzgl. $x_0 \in \mathbb{R}^d$)

↳ Geradenstück von x_0 nach x



"Lehrer sieht alle"

(\Leftarrow "jeder sieht jeder" :
Konvex)

16.6. Satz (über Gradientenfelder)

Für $B \subseteq \mathbb{R}^d$ offen und $A \in C^1(B; \mathbb{R}^d)$ Vektorfeld betrachte die Aussagen:

(i) \forall geschlossenen stückweisen C^1 -Kurve κ mit $\Gamma \subseteq B$ gilt

$$\oint_{\kappa} A(x) \cdot dx = 0$$

(ii) \forall stückweisen C^1 -Kurven κ und $\tilde{\kappa}$ mit $\Gamma \subseteq B, \tilde{\Gamma} \subseteq B$ und $\kappa \left(\begin{smallmatrix} \text{max} \\ \text{min} \end{smallmatrix} \Gamma \right) = \tilde{\kappa} \left(\begin{smallmatrix} \text{max} \\ \text{min} \end{smallmatrix} \tilde{\Gamma} \right)$ (gleiche Anfangs- und Endpunkt) gilt



$$\int_{\kappa} A(x) \cdot dx = \int_{\tilde{\kappa}} A(x) \cdot dx \quad \text{Wegunabhängigkeit}$$

(iii) A ist ein Gradientenfeld (oder: konservativ), d.h.

$$\exists f \in C^2(B; \mathbb{R}) \quad \text{mit } A = \nabla f \quad (A \text{ besitzt Potential } f)$$

(iv) Es gelten die Integrabilitätsbedingungen

$$\frac{\partial A_j}{\partial x_k} = \frac{\partial A_k}{\partial x_j} \quad \forall j, k \in \{1, \dots, d\}$$

Dann gilt: (i) \Leftrightarrow (ii) \Leftrightarrow (iii) \Rightarrow (iv)

Falls B zusätzlich sternförmig, so gilt auch

$$(iv) \Rightarrow (iii) \quad [\text{Lemma von Poincaré}]$$

16.7. Bemerkung

- (a) (i) \Leftrightarrow (ii) \Leftrightarrow (iii) gilt auch, falls $A \text{ unv} \in C(B; \mathbb{R}^d)$
In dem Fall ist dann $f \in C^1(B; \mathbb{R})$.
- (b) (iv) bedeutet in $d=3$: $\nabla \times A = 0$; d.h. A wirbelfrei (s. 8.4)
- (c) Die Vorausss. "B sternförmig" für (iv) \Rightarrow (iii) kann abgeschwächt, aber nicht weggelassen werden!

Beweis von Satz 16.6: (i) \Rightarrow (ii): da $\tilde{\mathbb{R}} \circ \mathbb{K}$ geschlossene
stückweise C^1 -Kurve (verwende Lem. 16.4). \checkmark

(ii) \Rightarrow (iii): Definiere Äquiv. rel. \sim auf B : $\forall x, y \in B$ sei

$$x \sim y : \Leftrightarrow \exists \kappa : I \rightarrow B \text{ stückweise } C^1\text{-Kurve mit } \kappa(\min I) = x \text{ \& } \kappa(\max I) = y$$

Äquiv. klassen $[x] := \{y \in B : y \sim x\}$ heißt die
Wegzusammenhangskomponente von $x \in B$

(siehe dazu später) - es gilt $B = \bigcup_{[x] \in B/\sim} [x]$

1. Schritt: B sei wegzusammenhängend, d.h. $\exists y \in B : B = [y]$
(d.h. $\forall x, y \in B : (*)$
 $x \sim y$)

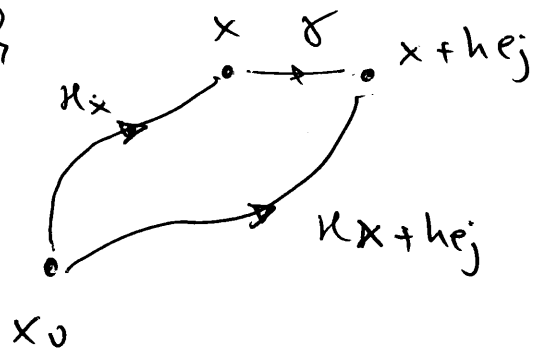
Fixiere $x_0 \in B$, sei $x \in B$ bel. fest,

und $h \in \mathbb{R} \setminus \{0\}$ klein, so $B_{|h|}(x) \subseteq B$ (B offen!).

Wähle κ_x , bzw. κ_{x+he_j} C^1 -Kurve von x_0 nach
 x , bzw. $x+he_j$, $j \in \{1, \dots, d\}$

\uparrow
j'ter
Einheitsvektor

(möglich wegen $(*)$)



Sei $\gamma: [0, 1] \rightarrow B$
 $t \mapsto x + t h e_j$

Setze $f(x) := \int_{K_x} A(y) \cdot dy \quad (x \in B)$

(wohldef: nur von x abh. (und fixe x_0), nicht aber von Wahl von K_x - per Annahme (ii) !).

$$\Rightarrow \frac{1}{h} [f(x + h e_j) - f(x)] = \frac{1}{h} \left[\int_{K_{x+h e_j}} A(y) \cdot dy - \int_{K_x} A(y) \cdot dy \right]$$

$$\underbrace{\int_{K_{x+h e_j} \oplus K_x^-} A(y) \cdot dy}_{\int_{\gamma} A(y) \cdot dy} \quad \text{u. V. (ii) (siehe Bild)}$$

Def γ & Def 16.1

$$\downarrow = \int_0^1 \underbrace{A(x + t h e_j)}_{A_j(x + t h e_j)} \cdot e_j dt \quad \text{Mittelwertsatz} = A_j(x + \Theta_h e_j)$$

mit $\Theta_h \in [0, 1]$

$h \rightarrow 0 \rightarrow A_j(x)$, also $\nabla f = A$.

Da $A \in C^1(B; \mathbb{R}^d)$ ist $f \in C^2(B; \mathbb{R})$.

2. Schritt: Falls B nicht wegzusammenhängend,

zerlege in Wegzusammenhangskomponenten $B = \bigcup_{[x] \in B/\sim} [x]$

und definiere f separat auf

allen $[x] := \{y \in B : y \sim x\} \in B/\sim$ wie in

1. Schritt (NB.: $[x]$ offen in \mathbb{R}^d , da

$$B_\varepsilon(y) \subseteq [x] \quad \forall y \in [x] \text{ und } \varepsilon > 0$$

so klein, dass $B_\varepsilon(y) \subseteq B$). ✓

"(iii) \Rightarrow (i)" Sei $\kappa = \kappa_n \circ \dots \circ \kappa_1 : I \rightarrow B$
 geschlossene stückweise C^1 -Kurve, wobei
 $\kappa_\nu : I_\nu \rightarrow B, \nu = 1, \dots, n, C^1$ -Kurven mit
 $\kappa_\nu(\max I_\nu) = \kappa_{\nu+1}(\min I_{\nu+1})$ für $\nu = 1, \dots, n-1$
 und $\kappa_n(\max I_n) = \kappa_1(\min I_1)$

$$\begin{aligned} \Rightarrow \int_{\kappa} (\nabla f)(x) \cdot dx &= \sum_{\nu=1}^n \int_{\kappa_\nu} (\nabla f)(x) \cdot dx \\ &= \sum_{\nu=1}^n \int_{I_\nu} \underbrace{(\nabla f)(\kappa_\nu(t)) \cdot \kappa'_\nu(t)}_{\frac{d}{dt} f(\kappa_\nu(t))} dt = \sum_{\nu=1}^n \left[f(\kappa_\nu(\max I_\nu)) - f(\kappa_\nu(\min I_\nu)) \right] \\ &= 0 \quad \checkmark \end{aligned}$$

"(iii) \Rightarrow (iv)" : Satz von Schwarz (Satz 8.8) über
 Vertauschbarkeit 2. partieller Ableitungen.

"(iv) \Rightarrow (iii)" : Sei B auch sternförmig; o.E. sei $x_0 = 0$
 der zugeh. Punkt für die Verbindungsstrecken.

Für $x \in B$ setze

$$f(x) := \sum_{k=1}^d x_k \int_0^1 A_k(tx) dt$$

$\uparrow \forall t \in [0,1]$
 B da sternf. \Rightarrow wohldef.!

$A \in C^1(B; \mathbb{R}^d) \Rightarrow f \in C^1(B; \mathbb{R})$ mit Satz 12.48 (b)
 ("Diff. barkeit von Param.-Int")

(exist. Majorante aus Beschränktheit

1. part. Abl. von A auf Kompakta (da stetig))

$$\Rightarrow \frac{\partial f}{\partial x_j}(x) = \int_0^1 A_j(tx) dt + \sum_{k=1}^d x_k \frac{\partial}{\partial x_j} \int_0^1 A_k(tx) dt ;$$

$$\frac{\partial}{\partial x_j} \int_0^1 A_k(tx) dt = \int_0^1 \frac{\partial}{\partial x_j} [A_k(tx)] dt = \int_0^1 t \frac{\partial A_k}{\partial x_j}(tx) dt$$

Da $\frac{\partial A_k}{\partial x_j} = \frac{\partial A_j}{\partial x_k} \quad \forall j, k \in \{1, \dots, d\}$ n. V., folgt

434

$$\frac{\partial f}{\partial x_j}(x) = \int_0^1 \left[A_j(tx) + t \underbrace{\sum_{k=1}^d x_k \frac{\partial A_j}{\partial x_k}(tx)}_{\frac{d}{dt} [A_j(tx)]} \right] dt = t A_j(tx) \Big|_0^1 = \underline{A_j(x)} \quad \checkmark$$

$$\frac{d}{dt} (t A_j(tx))$$

Da $A \in C^1(B; \mathbb{R}^d) \rightarrow f \in C^2(B; \mathbb{R}) \quad \checkmark$ □

16.8 Bemerkung: Zur Wegzusammenhangskomponente (von $x \in B$):

Man kann zeigen (!): Für $B \subseteq \mathbb{R}^d$ offen gilt:

$x \sim y : \Leftrightarrow \exists$ stückweise C^1 -Kurve von x nach y

$\stackrel{!}{\Leftrightarrow} \exists C^0$ -Kurve von x nach y

(\Rightarrow) trivial). \uparrow "Weg"

16.2. Orientierte Hyperflächen mit Rand

(435)

16.9. Definition Sei M n -dim. C^1 -Mfkt. in \mathbb{R}^d

- Seien $\varphi, \tilde{\varphi}$ zwei überlappende Karten von M , d.h.
 $V := \varphi(T) \cap \tilde{\varphi}(\tilde{T}) \neq \emptyset$. Sei $W := \varphi^{-1}(V) \subseteq \mathbb{R}^n$,
 $\tilde{W} := \tilde{\varphi}^{-1}(V) \subseteq \mathbb{R}^n$ und $\psi: W \rightarrow \tilde{W}$ Diffeom., so
dass $\varphi = \tilde{\varphi} \circ \psi$ (exist. nach Satz 15.6(b))

$$\varphi, \tilde{\varphi} \left\{ \begin{array}{l} \text{gleich} \\ \text{gegensätzlich} \end{array} \right\} \text{orientiert} : \Leftrightarrow \det(D\psi)(t) \left\{ \begin{array}{l} > \\ < \end{array} \right\} 0 \quad \forall t \in W$$

- orientierter Atlas von M : \Leftrightarrow $\left\{ \begin{array}{l} \text{je 2 überlappende} \\ \text{Karten von } \mathcal{A} \text{ sind} \\ \text{gleich orientiert} \end{array} \right.$
- Zwei orientierte Atlanten \mathcal{A} & \mathcal{A}' von M sind gleichorientiert : \Leftrightarrow $\left\{ \begin{array}{l} \mathcal{A} \cup \mathcal{A}' \text{ ist} \\ \text{orientiertes Atlas} \end{array} \right.$
- M ist orientierbar : $\Leftrightarrow \mathcal{O} := \left\{ \begin{array}{l} \text{Mengen der orientierten} \\ \text{Atlanten von } M \end{array} \right\} \neq \emptyset$

"Gleichorientierung" def. Äquiv. relation \sim auf \mathcal{O}

$\sigma \in \mathcal{O}/\sim$ heißt (wenn M orientierbar)

Orientierung von M

(M, σ) : orientierte Mfkt

16.10. Beispiel

$S^1 = \{x \in \mathbb{R}^2 : |x| = 1\}$ orientierbare Mfkt. \mathbb{Z} im \mathbb{R}^2

orientiertes Atlas $\mathcal{A} = \{\varphi, \tilde{\varphi}\}$,

$$\varphi:]0, 2\pi[\rightarrow \mathbb{R}^2$$
$$t \mapsto \begin{pmatrix} \cos t \\ \sin t \end{pmatrix}$$

$$\tilde{\varphi}:]-\pi, \pi[\rightarrow \mathbb{R}^2$$
$$\tilde{t} \mapsto \begin{pmatrix} \cos \tilde{t} \\ \sin \tilde{t} \end{pmatrix}$$

$$\psi:]0, 2\pi[\rightarrow]-\pi, \pi[; t \mapsto \psi(t) = t - \pi \Rightarrow \psi'(t) = 1 > 0 \quad \forall t$$

Außerdem: $\tilde{\varphi}_-:]-\pi, \pi[\rightarrow \mathbb{R}^2$

$$\tilde{t} \mapsto \begin{pmatrix} \cos \tilde{t} \\ -\sin \tilde{t} \end{pmatrix}$$

gegensätzlich orientiert zu $\tilde{\varphi}$, als auch φ

$$(\psi(t) = -t, \text{ bzw. } \psi(t) = \pi - t)$$

Hier: $\text{card}(\mathcal{O}/\sim) = 2$ - es gibt 2 Orientierungen von S^1
(Falls > 2 Orientierungen existieren $\Rightarrow M$ nicht zusammenhängend).

16.11. Definition (Orientierung von Tangentialräumen).

(a) Basis $\{v_1, \dots, v_n\}$ von \mathbb{R}^n
positiv (bzw. negativ) orientiert
(bzgl. kanon. Basis $\{e_1, \dots, e_n\}$)

$$: \Leftrightarrow \det \begin{pmatrix} | & & | \\ v_1 & \dots & v_n \\ | & & | \end{pmatrix} > 0 \quad (\text{bzw. } < 0)$$

(b) Sei (M, σ) orient. Mfkt., $a \in M$, $\{\tau_1, \dots, \tau_n\}$ Basis von $T_a M$, und φ zu σ gleichorientierte Karte von M (d.h. für $\mathcal{A} \in \sigma$ gilt: $\mathcal{A} \cup \{\varphi\}$ orient. Atlas von M), mit $a \in \varphi(T)$

$\{\tau_1, \dots, \tau_n\}$ pos. orientiert
(bzgl. σ)

$$: \Leftrightarrow \begin{cases} \exists \text{ pos. orient. Basis } \{v_1, \dots, v_n\} \\ \text{in } \mathbb{R}^n: \\ \tau_j = (D\varphi)(\varphi^{-1}(a)) v_j \\ \text{für } j = 1, \dots, n \end{cases}$$

Insbesondere: $\left\{ \frac{\partial \varphi}{\partial t_1}(\varphi^{-1}(a)), \dots, \frac{\partial \varphi}{\partial t_n}(\varphi^{-1}(a)) \right\}$ ist
pos. orient. Basis von $T_a M$ (wähle $v_j = e_j$)

16.12. Lemma | Def. 16.11(b) ist unabh. von Wahl
der gleichorientierten Karte φ mit $\varphi(T) \ni a$.

Beweis: Sei $\tilde{\varphi}$ eine weitere solche Karte mit $\tilde{\varphi}(\tilde{T}) \ni a$.

$\Rightarrow \varphi = \tilde{\varphi} \circ \psi$ mit $\det(D\psi)(t) > 0 \quad \forall t \in W$

(siehe Def. 16.9). Setze $\tilde{v}_j := (D\psi)(\varphi^{-1}(a)) v_j, j=1, \dots, n$

$$\begin{aligned} \Rightarrow \tau_j &= \underbrace{(D(\tilde{\varphi} \circ \psi))(\varphi^{-1}(a))}_{\varphi} v_j = (D\tilde{\varphi})(\psi \circ \varphi^{-1}(a)) \underbrace{(D\psi)(\varphi^{-1}(a))}_{\tilde{v}_j} v_j \\ &= (D\tilde{\varphi})(\tilde{\varphi}^{-1}(a)) \tilde{v}_j \end{aligned}$$

und $\det \begin{pmatrix} \tilde{v}_1 & \dots & \tilde{v}_n \\ | & & | \\ | & & | \end{pmatrix} > 0$ - also $\{\tilde{v}_1, \dots, \tilde{v}_n\}$
pos. orient.
Basis von \mathbb{R}^n

$$\underbrace{(D\psi)(\varphi^{-1}(a))}_{\det > 0} \underbrace{\begin{pmatrix} | & & | \\ v_1 & \dots & v_n \\ | & & | \end{pmatrix}}_{\det > 0}$$

16.13. Definition | Sei $d \geq 2$.

(a) $M \subseteq \mathbb{R}^d$ Hyperfläche: $\Leftrightarrow M$ $(d-1)$ -dim. C^1 -Mfkt. in \mathbb{R}^d

[Nach Satz 15.8: M (lokal) beschrieben als Lösungsmenge
einer Gleichung; es gilt
 $\dim N_a M = 1$ (Satz 15.11(b))]

(b) ν ist Einheitsnormalenfeld (von Hyperfläche M) \Leftrightarrow $\left\{ \begin{array}{l} \nu: M \rightarrow \mathbb{R}^d \\ M \ni a \mapsto \nu(a) \in \left\{ \frac{\pm (\nabla f)(a)}{|\nabla f(a)|} \right\} \\ \text{(lokal; mit } f \text{ eine Funktion, deren Nullstellenmenge } M \text{ ist)} \end{array} \right.$

(c) Sei (M, σ) orientierte Hyperfläche in \mathbb{R}^d mit Einheitsnormalenfeld ν :

ν positiv orientiert bzgl. σ \Leftrightarrow $\left\{ \begin{array}{l} \forall a \in M \exists \text{ eine bzgl. } \sigma \text{ pos. orient.} \\ \text{Basis } \{ \tau_1^{(a)}, \dots, \tau_{d-1}^{(a)} \} \text{ von } T_a M, \\ \text{so dass } \{ \nu(a), \tau_1^{(a)}, \dots, \tau_{d-1}^{(a)} \} \\ \text{eine pos. orient. Basis in } \mathbb{R}^d \text{ ist.} \end{array} \right.$

16.14. Lemma | Def. 16.13(c) ist unabh. von Wahl der bzgl. σ pos. orient. Basis $\{ \tau_1^{(a)}, \dots, \tau_{d-1}^{(a)} \}$ von $T_a M$

Beweis: Sei $\{ \tilde{\tau}_1^{(a)}, \dots, \tilde{\tau}_{d-1}^{(a)} \}$ eine weitere solche Basis (bzgl. σ pos. orient. Basis von $T_a M$)

$\Rightarrow (*) \tau_j^{(a)} = (D\varphi)(\varphi^{-1}(a)) v_j, \tilde{\tau}_j^{(a)} = (D\varphi)(\varphi^{-1}(a)) \tilde{v}_j, j=1, \dots, d-1,$
 mit $\{ v_1, \dots, v_{d-1} \}, \{ \tilde{v}_1, \dots, \tilde{v}_{d-1} \}$ je eine pos. orient. Basis \mathbb{R}^{d-1}

$\Rightarrow \exists A \in \text{Mat}((d-1) \times (d-1); \mathbb{R}) : \tilde{v}_j = A v_j, j=1, \dots, d-1$ (Basiswechsel)

Da $0 < \det \begin{pmatrix} | & & | \\ \tilde{v}_1 & \dots & \tilde{v}_{d-1} \\ | & & | \end{pmatrix} = \det(A) \det \underbrace{\begin{pmatrix} | & & | \\ v_1 & \dots & v_{d-1} \\ | & & | \end{pmatrix}}_{> 0}$

$\Rightarrow \det(A) > 0$

In basis $\{v(a), \tilde{L}_1^{(a)}, \dots, \tilde{L}_{d-1}^{(a)}\}$ von $\mathbb{R}^d (= N_a M \oplus T_a M, N_a M \perp T_a M)$ hat $(D\varphi)(\varphi^{-1}(a))$ Matrixdarstellung:

**1 $(D\varphi)(\varphi^{-1}(a)) = \begin{pmatrix} 0 & \dots & 0 \\ \dots & F & \dots \end{pmatrix} \in \text{Mat}(d \times (d-1), \mathbb{R})$

mit $F \in \text{Mat}((d-1) \times (d-1); \mathbb{R})$. In gleicher Basis:

$\det \begin{pmatrix} | & | & | \\ v(a) & \tilde{L}_1^{(a)} & \dots & \tilde{L}_{d-1}^{(a)} \\ | & | & | \end{pmatrix} = \det \begin{pmatrix} 1 & 0 & \dots & 0 \\ 0 & | & & | \\ \vdots & | & F & | \\ 0 & | & & | \end{pmatrix}$
↑ wegen (*)
k (**)

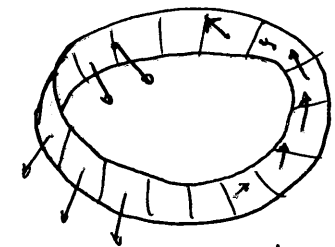
$= \det \left(F A \begin{pmatrix} | & \dots & | \\ v_1 & \dots & v_{d-1} \\ | & & | \end{pmatrix} \right) = \det \left(F \begin{pmatrix} | & \dots & | \\ v_1 & \dots & v_{d-1} \\ | & & | \end{pmatrix} \right) \cdot \underbrace{\det A}_{> 0} > 0$
 $\det \begin{pmatrix} | & | & | \\ v(a) & \tilde{L}_1^{(a)} & \dots & \tilde{L}_{d-1}^{(a)} \\ | & | & | \end{pmatrix} > 0 \quad \square$

16.15. Satz Sei $d \geq 2$ und (M, σ) eine orientierte Hyperfläche im \mathbb{R}^d . Dann $\exists!$ Einheits-Normalenfeld $\nu : M \rightarrow \mathbb{R}^d$ mit pos. Orient. bzgl. σ . Zudem ist ν stetig

16.16. Bemerkung: Es gilt auch die Umkehrung von Satz 16.15: \exists stetiges Einheitsnormalenfeld für Hyperfläche $M \rightarrow \mathbb{R}^d$ orientierbar.
Man kann also dies als Def. der Orientierbarkeit von Hyperflächen verwenden!

16.17. Beispiel: Möbius-Band M

ist Hyperfläche im \mathbb{R}^3 ; aber nicht orientierbar, da ∇f stetiges Einheitsnormalenfeld (siehe Forster Bsp. 20.6 p. 274 (8. Auflage))



M

Beweis Satz 16.15: • Existenz: aus Def. 16.13 klar.

• Eindeutigkeit: Sei $a \in M$ und $\{\tau_1, \dots, \tau_{d-1}\}$ pos. orient. Basis von $T_a M$ bzgl. σ .

Sei $\xi \in \{\pm 1\} \Rightarrow \det \begin{pmatrix} \xi (\nabla f)(a) \\ \tau_1 \\ \vdots \\ \tau_{d-1} \end{pmatrix} > 0$
für entweder $\xi = +1$ oder $\xi = -1$

• Stetigkeit: Sei $a \in M$, $U \ni a$ offene Umgebung im \mathbb{R}^d und $f \in C^1(U; \mathbb{R})$ mit $V := M \cap U = \{x \in U : f(x) = 0\}$ (NB: ex. nach Satz 15.8); zudem $(\nabla f)(a) \neq 0$
 $\Rightarrow (\nabla f)(x) \neq 0 \forall x \in V$, falls U hinreichend klein, da $f \in C^1$.

Setze $\tilde{\nu}(x) := \frac{(\nabla f)(x)}{|(\nabla f)(x)|}$, $x \in V \Rightarrow V \ni x \mapsto \tilde{\nu}(x)$ stetig!

Sei $\nu: M \rightarrow \mathbb{R}^d$ das eindeutige Einheitsnormalenfeld (mit pos. orient. bzgl. σ)
o.E. gelte $\tilde{\nu}(a) = \nu(a)$ [sonst $f \rightarrow -f$]

Sei $\varphi: T \rightarrow V$ Karte von M

$\Rightarrow T \ni t \mapsto h(t) := \det \begin{pmatrix} \tilde{\nu}(\varphi(t)) & \frac{\partial \varphi}{\partial t_1}(t) & \dots & \frac{\partial \varphi}{\partial t_{d-1}}(t) \end{pmatrix}$

ist stetig, und $h(\varphi^{-1}(a)) > 0$

$\tilde{\nu}(a) = \nu(a)$ &
 ν pos. orient. bzgl. σ

h stetig

$$\Rightarrow \exists \varepsilon > 0 : h(t) > 0 \quad \forall t \in B_\varepsilon^{(d-1)}(\varphi^{-1}(a)) =: T_0$$

$$\Rightarrow \exists \delta > 0 : \forall x \in \varphi(T_0) \subseteq V$$

↑ offene Umgeb. (in M) von a

\tilde{v} stetig in a

$$\Rightarrow v \text{ stetig in } a$$

16.18. Lemma | Sei (M, σ) orient. Hyperfläche in $d=3$ (d.h. $\dim M=2$), sei $a \in M$, und $v(a)$ der bzgl. σ pos. orient. Einheitsnormalenvektor in a .

Dann gilt, für eine Basis $\{\tau_1, \tau_2\}$ von $T_a M$:

$$\left. \begin{array}{l} \{\tau_1, \tau_2\} \text{ pos. orient.} \\ \text{Basis bzgl. } \sigma \end{array} \right\} \Leftrightarrow v(a) = \frac{\tau_1 \times \tau_2}{|\tau_1 \times \tau_2|}$$

(für " \times ", siehe 8.4)

Beweis: Da $0 \neq \tau_1 \times \tau_2 \perp \text{span}\{\tau_1, \tau_2\} = T_a M$ und

$$\dim N_a M = 1 \Rightarrow v(a) = \pm \frac{\tau_1 \times \tau_2}{|\tau_1 \times \tau_2|}$$

$$\text{pos. orient.} \Leftrightarrow \det \begin{pmatrix} v(a) \\ \tau_1 \\ \tau_2 \end{pmatrix} > 0$$

\Rightarrow es muss "+" gelten, da

$$\det(\tau_1 \times \tau_2 | \tau_1 | \tau_2) = (\det R) \cdot \det(\tau_1 \times \tau_2 | \tau_1 | \tau_2)$$

\uparrow
 $SO(3)$ ($\forall R \in SO(3)$)

$$= \det \left(\underbrace{R\tau_1 \times R\tau_2}_{=: \hat{\tau}_1} \mid \underbrace{R\tau_1}_{\hat{\tau}_1} \mid \underbrace{R\tau_2}_{\begin{pmatrix} 0 \\ 0 \\ 1 \end{pmatrix} |\tau_2|} \right)$$

wähle $R \in SO(3)$, so dass $R\tau_2 = \begin{pmatrix} 0 \\ 0 \\ 1 \end{pmatrix} |\tau_2|$

$$= |\tau_2|^2 \det \begin{pmatrix} \hat{\tau}_{1,2} & \hat{\tau}_{1,1} & 0 \\ -\hat{\tau}_{1,1} & \hat{\tau}_{1,2} & 0 \\ 0 & \hat{\tau}_{1,3} & 1 \end{pmatrix} = \det \begin{pmatrix} \hat{\tau}_{1,2} & \hat{\tau}_{1,1} \\ -\hat{\tau}_{1,1} & \hat{\tau}_{1,2} \end{pmatrix} \times |\tau_2|^2$$

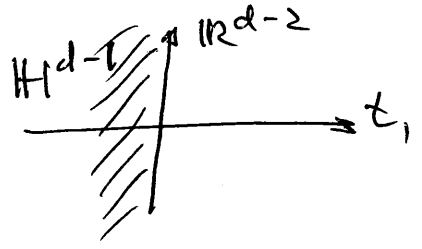
$$= |\tau_2|^2 (\hat{\tau}_{1,2}^2 + \hat{\tau}_{1,1}^2) > 0$$

16.19. Definition Sei $d \geq 2$

(a) M Hyperfläche in \mathbb{R}^d mit C^1 -Rand : \Leftrightarrow

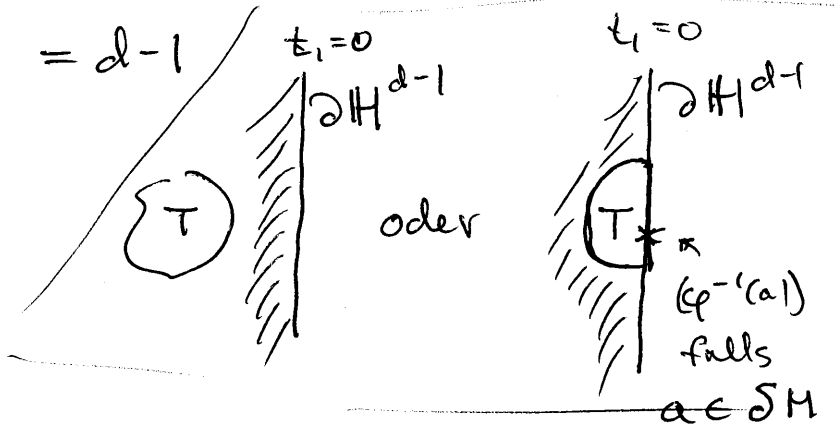
$\forall a \in M \exists V \subseteq M$ offen in Relativtop. auf M mit $a \in V$ und lokale Karte $\varphi: T \rightarrow V$ mit

- T offen in $H^{d-1} := \{t \in \mathbb{R}^{d-1} : t_1 \leq 0\}$ (in Rel-top.).



- φ Homöomorphismus.
- φ stetig diff-bar (falls $t_1 = 0$ nur linksseitige $\frac{\partial}{\partial t_1}$)

\bullet $\text{Rang} \begin{pmatrix} \frac{\partial \varphi_j}{\partial t_k}(t) \\ \vdots \\ \frac{\partial \varphi_d}{\partial t_k}(t) \end{pmatrix} \begin{matrix} 1 \leq j \leq d \\ 1 \leq k \leq d-1 \end{matrix} = d-1$



(b) $a \in M$ Randpkt. von M

$\Leftrightarrow \exists$ Karte $\varphi: T \rightarrow V \ni a$ mit $(\varphi^{-1}(a))_1 = 0$

$\partial M := \{a \in M : a \text{ ist Randpkt. von } M\}$
Rand von M

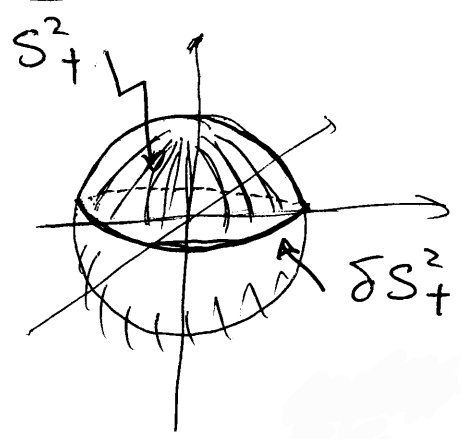
Achtung: $\partial M \neq \partial M = M$
 ↑ topol. Rand in \mathbb{R}^d

16.20. Beispiel = Halbsphäre im \mathbb{R}^3

$S_+^2 := \{x \in \mathbb{R}^3 : |x|=1 \text{ und } x_3 \geq 0\}$

$\partial S_+^2 = \{x \in \mathbb{R}^3 : |x|=1 \text{ und } x_3 = 0\}$

(∂S_+^2 1-dim C^1 -Mfkt. im \mathbb{R}^3)



16.21. Satz Sei $d \geq 3$ und M Hypertfläche im \mathbb{R}^d mit C^1 -Rand. Dann ist ∂M eine $(d-2)$ dim. C^1 -Mfht im \mathbb{R}^d (443)

Beweis: Sei φ Karte von M mit $T_x \cap \partial \mathbb{H}^{d-1} \neq \emptyset$
(d.h. $\varphi(T)$ überdeckt Teile von ∂M)

$\beta := \varphi|_{T_x \cap \partial \mathbb{H}^{d-1}}$ ist Karte von ∂M \square

16.22. Lemma Sei $d \geq 3$ und (M, \mathcal{G}) orient. Hypertfläche mit C^1 -Rand im \mathbb{R}^d . Sei $\mathcal{U} := \{\varphi_\alpha\}_{\alpha \in W} \in \mathcal{G}$ orient. Atlas und $\beta_\alpha := \varphi_\alpha|_{T_\alpha \cap \partial \mathbb{H}^{d-1}}$ wie im Bew. von Satz 16.21.

Dann ist $\mathcal{U}_\partial := \{\beta_\alpha\}_{\alpha \in W: T_\alpha \cap \partial \mathbb{H}^{d-1} \neq \emptyset}$

ein orient. Atlas von ∂M und (seine Äquiv. klas. von Atlanten) def. die induzierte Orientierung \mathcal{G}_∂ von ∂M

Beweis: Sei $\varphi, \tilde{\varphi}$ zwei (auf ∂M überlappende) Karten von M

sei $W := \varphi^{-1}(\varphi(T) \cap \tilde{\varphi}(\tilde{T}))$, $\tilde{W} := \tilde{\varphi}^{-1}(\varphi(T) \cap \tilde{\varphi}(\tilde{T}))$
und $\psi := \tilde{\varphi}^{-1} \circ \varphi : W \rightarrow \tilde{W}$ Diffeom. (siehe Satz 15.6(b)).

$$\psi(W \cap \partial \mathbb{H}^{d-1}) \subseteq \tilde{T} \cap \partial \mathbb{H}^{d-1}$$

$\Rightarrow \psi_\partial := \tilde{\beta}^{-1} \circ \beta : W \cap \partial \mathbb{H}^{d-1} \rightarrow \tilde{W} \cap \partial \mathbb{H}^{d-1}$ ist Diffeom

und, $\forall \hat{t} = (0, \hat{t}) \in W \cap \partial \mathbb{H}^{d-1}$:
 $\hat{t} \in \mathbb{R}^{d-2}$

$$(D\psi)_\partial(0, \hat{t}) = \begin{pmatrix} \gamma & 0 & \dots & 0 \\ * & & & (D\psi_\partial)(\hat{t}) \end{pmatrix}$$

wobei $\gamma > 0$. Es folgt

$\varphi, \tilde{\varphi}$ gleichorient.

$\Leftrightarrow \beta, \tilde{\beta}$ gleichorient. \square

16.3. Satz von Stokes im \mathbb{R}^3

Das Kurvenintegral für Vektorfelder in der Sprache von orientierten (1-dim) Mfkt'en.:

16.23. Definition Sei (M, σ) 1-dim. orientierte C^1 -Mfkt. im \mathbb{R}^d , sei $\mathcal{A} = \{ \varphi_\alpha : T_\alpha \subseteq \mathbb{R} \rightarrow V_\alpha \}_{\alpha \in \mathbb{N}} \in \sigma$ ein zugeh. orient. Atlas von M . Sei $F: M \rightarrow \mathbb{R}^d$ ein Borel-messbares Vektorfeld mit $|F| \in \mathcal{L}^1(M, \lambda_M)$. Setze

$$(*) \int_M F(x) \cdot d\lambda_M^\sigma(x) := \sum_{\alpha \in \mathbb{N}} \int_{\varphi_\alpha^{-1}(U_\alpha)} F(\varphi_\alpha(t)) \cdot \varphi_\alpha'(t) d\lambda^1(t)$$

wobei $U_\alpha \subseteq V_\alpha, \forall \alpha \in \mathbb{N}$, die disjunkt gemachten V_α 's sind:

$$M = \dot{\bigcup}_{\alpha \in \mathbb{N}} U_\alpha, \quad U_\alpha \text{ messbar.}$$

16.24. Bemerkung: Integral in (*) ist wohldefiniert, denn

$$\begin{aligned} \left| \int_M F(x) \cdot d\lambda_M^\sigma(x) \right| &\leq \sum_{\alpha \in \mathbb{N}} \int_{\varphi_\alpha^{-1}(U_\alpha)} \underbrace{|F(\varphi_\alpha(t))|}_{|F|(\varphi_\alpha(t))} \cdot \underbrace{|\varphi_\alpha'(t)|}_{\sqrt{g_\alpha(t)}} d\lambda^1(t) \\ &= \int_M |F|(x) d\lambda_M(x) < \infty \end{aligned}$$

* Gram-Det.

da $|F| \in \mathcal{L}^1(M, \lambda_M)$.

16.25 Satz (Integralsatz von Stokes (in \mathbb{R}^3))

Sei (M, σ) eine kompakte, orientierte Hyperfläche im \mathbb{R}^3 mit C^1 -Rand. Sei $\nu: M \rightarrow \mathbb{R}^3$ das bzgl. σ positiv orient. Einheitsnormalenfeld, Sei $U \supseteq M$ offen im \mathbb{R}^3 und $F \in C^1(U; \mathbb{R}^3)$. Dann gilt:

$$\int_M (\nabla \times F)(x) \cdot \nu(x) d\lambda_M(x) = \int_{\partial M} F(x) \cdot d\lambda_{\sigma_M}^{\partial M}(x)$$

Beweis: 1. Schritt: Reduktion auf eine Karte,

mittels C^∞ -Zerlegung der Eins (Def. 13.18 & Bsp. 13.19) (analog 2. Schritt des Beweises des Satzes von Gauß):

Sei A Indexmenge, $\mathcal{A} := \{ \varphi_\alpha: T_\alpha \rightarrow V_\alpha \mid \alpha \in A \in \sigma$ orient. Atlas von M . O.E.: sei jedes T_α (Kartengebiet)

von der Form einer (u.U. angeschnittenen) Kugel,

$$(\forall) T_\alpha = B_{r_\alpha}^{(2)}(c_\alpha) \cap \mathbb{H}^2, \text{ mit } r_\alpha > 0 \text{ und } c_\alpha \in \mathbb{H}^2$$

[denn: $\forall a \in M \exists$ Karte $\varphi: T \rightarrow V \ni a$ (mit belieb. orient),

also $\varphi^{-1}(a) \in T \subseteq \mathbb{H}^2$; T offen in $\mathbb{H}^2 \Rightarrow T$ lässt

sich auf Form in (\forall) verkleinern, mit Mittelpkt

$c_\alpha = \varphi^{-1}(a)$; wähle $A := M$ und $\alpha = a$].

Sei $\lambda > 0$ Leb.-Zahl. der off. Überdeckung

$$M = \bigcup_{\alpha \in A} V_\alpha \quad (\text{nach Lemma 15.28; } M \text{ kompakt!})$$

$$(V_\alpha = \varphi_\alpha(B_{r_\alpha}^{(2)}(c_\alpha) \cap \mathbb{H}^2))$$

Setze $\varepsilon := \frac{1}{2\sqrt{3}}$ und sei $\{\gamma_{p,\varepsilon}\}_{p \in \mathbb{Z}^3}$ C^∞ -Teilung der Eins (13.18). Dann gilt:

- $\text{diam}(\text{supp } \gamma_{p,\varepsilon}) = 1 \quad \forall p \in \mathbb{Z}^3$
- $P := \{p \in \mathbb{Z}^3 : \text{supp } \gamma_{p,\varepsilon} \cap M \neq \emptyset\}$ endlich, da M kpt.,
- $\forall p \in P \exists x_p \in A : \underbrace{(\text{supp } \gamma_{p,\varepsilon}) \cap M}_{\text{kpt. in } M} \subset V_{x_p}$ (nach 15.28)
- $1 = \sum_{p \in \mathbb{Z}^3} \gamma_{p,\varepsilon}(x) \quad \forall x$

$$\Rightarrow \int_M (\nabla \times F)(x) \cdot \nu(x) d\lambda_M(x) = \sum_{p \in P} \int_M (\nabla \times (\gamma_{p,\varepsilon} F))(x) \cdot \nu(x) d\lambda_M(x)$$

$$\int_{\partial M} F(x) \cdot d\lambda_{\partial M}^{\text{ind}} = \sum_{p \in P} \int_{\partial M} (\gamma_{p,\varepsilon} F)(x) \cdot d\lambda_{\partial M}^{\text{ind}}$$

\Rightarrow Es genügt Beh. zu zeigen für Vektorfelder F so dass:

(*) $\left[\begin{array}{l} \exists \text{ eine bzgl. } \sigma \text{ pos. orient. Karte } \varphi: T \rightarrow V \text{ von } M \\ \text{mit } \underbrace{(\text{supp } |F| \cap M)}_{\text{kompakt in } M} \subset \underbrace{V}_{\text{offen in } M} \end{array} \right]$

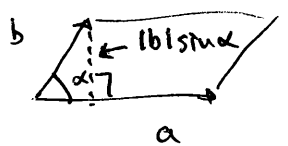
2. Schritt: Übergang zur Karte: Sei F & φ wie in (*)

$$\begin{aligned} \Rightarrow \int_M (\nabla \times F)(x) \cdot \nu(x) d\lambda_M(x) &= \int_V (\nabla \times F)(x) \cdot \nu(x) d\lambda_M(x) \\ &= \int_T (\nabla \times F)(\varphi(t)) \cdot \nu(\varphi(t)) \underbrace{\sqrt{g(t)}}_{\text{Gram-Det.}} d\lambda^2(t) \end{aligned}$$

Es gilt:

$$\bullet \nabla(\varphi(t)) = \frac{\frac{\partial \varphi}{\partial t_1}(t) \times \frac{\partial \varphi}{\partial t_2}(t)}{\left| \frac{\partial \varphi}{\partial t_1}(t) \times \frac{\partial \varphi}{\partial t_2}(t) \right|} \quad (\text{nach Lemma 16.18 \& Def. 16.11(b)})$$

$\bullet \sqrt{g(t)} = \left\{ \begin{array}{l} \text{Flächeninhalt des von } \frac{\partial \varphi}{\partial t_1} \text{ \& } \frac{\partial \varphi}{\partial t_2} \\ \text{im } \mathbb{R}^3 \text{ aufgespannten Parallelogramm} \end{array} \right\}$ (Üb. Auf. 14.1)

$$= \left| \frac{\partial \varphi}{\partial t_1}(t) \times \frac{\partial \varphi}{\partial t_2}(t) \right|$$


$\bullet \forall a, b, c, d \in \mathbb{R}^3$:

$$(a \times b) \cdot (c \times d) = \sum_{1 \leq j < l \leq 3} (a_j b_l - a_l b_j)(c_j d_l - c_l d_j)$$

antisymm. \searrow

$$= \sum_{1 \leq j, l \leq 3} (a_j b_l - a_l b_j) c_j d_l$$

Daraus:

$$(\nabla \times F)(\varphi(t)) \cdot \nabla(\varphi(t)) \sqrt{g(t)} = \sum_{1 \leq j, l \leq 3} (\partial_{x_j} F_l - \partial_{x_l} F_j)(\varphi(t)) \frac{\partial \varphi_j}{\partial t_1}(t) \frac{\partial \varphi_l}{\partial t_2}(t)$$

$$= \sum_{l=1}^3 \frac{\partial}{\partial t_1} [F_l(\varphi(t))] \frac{\partial \varphi_l}{\partial t_2}(t) - \sum_{j=1}^3 \frac{\partial}{\partial t_2} [F_j(\varphi(t))] \frac{\partial \varphi_j}{\partial t_1}(t)$$

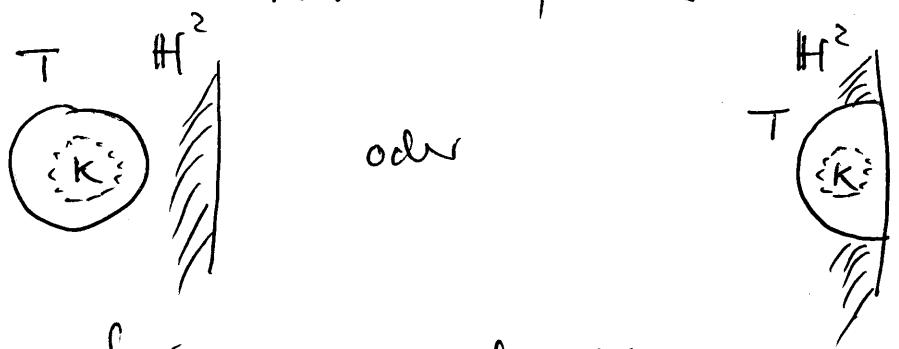
$$\stackrel{(!) \text{ (a)}}{=} \frac{\partial}{\partial t_1} \underbrace{\left(F(\varphi(t)) \cdot \frac{\partial \varphi}{\partial t_2}(t) \right)}_{=: G_2(t)} - \frac{\partial}{\partial t_2} \underbrace{\left(F(\varphi(t)) \cdot \frac{\partial \varphi}{\partial t_1}(t) \right)}_{=: G_1(t)}$$

(Für (a) = es wird, streng genommen, hierfür $\varphi \in C^2(\mathbb{T})$ gebraucht. - Entweder: man nimmt an, M ist C^2 -Mfkt - oder, man muss hier ein Glättungskern/Mollifier, wie auf dem Weihnachtsblatt, einsetzen - das sparen wir uns aber...)

3. Schritt: Analyse der Integrale: Wende Satz von Green in Kartengebiet T an:

Da \overline{T} kompakt mit stückweisen (!) C^1 -Rand, folgt, mit Satz von Green (Kor. 15.31 - gilt auch (!) für stückweisen C^1 -Rand):

1. Fall: Sei $K := \text{supp}(|F| \circ \varphi)$ kpt in \mathbb{H}^2 , mit $K \cap \partial\mathbb{H}^2 = \emptyset$ [$\Rightarrow \text{dist}(K, \partial\mathbb{H}^2) > 0$] \square



$$\Rightarrow \int_M (\nabla \times F)(x) \cdot \nu(x) d\lambda_M(x) = \int_T \left[\frac{\partial}{\partial t_1} G_2(t) - \frac{\partial}{\partial t_2} G_1(t) \right] d\lambda^2(t) \stackrel{\text{Tut. Aufg. 10.2}}{=} 0$$

da $G_1|_{\partial T} = 0 = G_2|_{\partial T}$

Andererseits $[t_2 \mapsto \varphi(o_1, t_2) =: \varphi(o_1, t_2)]$ ist pos. orient. Karte bzgl. σ_{ind} von ∂M ($\sigma_{\text{ind}} = \sigma_\delta$)

$$\int_{\partial M} F(x) \cdot d\lambda_{\sigma_{\text{ind}}}^{\partial M}(x) = \int_{\partial M \cap V} F(x) \cdot d\lambda_{\sigma_{\text{ind}}}^{\partial M}(x) = \int_{T \cap \partial\mathbb{H}^2} F(\varphi(o_1, t_2)) \cdot \frac{\partial \varphi}{\partial t_2}(o_1, t_2) d\lambda^1(t_2) = 0$$

$T \cap \partial\mathbb{H}^2 = \emptyset$ (wegen \square) ✓

2. Fall: $K \cap \partial H^2 \neq \emptyset$

Wie im 1. Fall gilt:

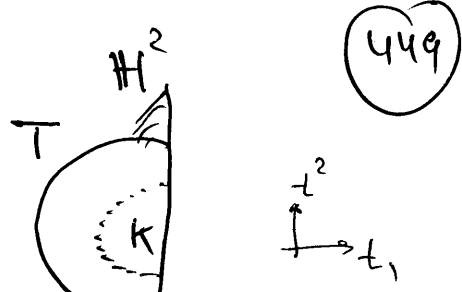
$$\int_M (\nabla \times F)(x) \cdot \nu(x) dA_M(x)$$

$$= \int_T \left[\frac{\partial}{\partial t_1} G_2(t) - \frac{\partial}{\partial t_2} G_1(t) \right] d\lambda^2(t)$$

$$= \int_T \frac{\partial}{\partial t_1} G_2(t) dt \quad (\text{Tut. Aufg. 10.2})$$

$$\stackrel{(!)}{=} \int_{\partial T \cap \partial H^2} \underbrace{G_2(t_1, t_2)}_{F(\varphi(t_1, t_2)) \cdot \frac{\partial \varphi}{\partial t_2}(t_1, t_2)} d\lambda^1(t_2) \quad \begin{matrix} (\text{Kor. 15.31}) \\ (\text{Satz von Green}) \end{matrix}$$

$$= \int_{\partial M} F(x) \cdot d\lambda_{\partial M}^{\text{bind}}(x) \quad (\text{da } \partial T \cap \partial H^2 = T \cap \partial H^2)$$



16.26. Bemerkung: (a) Der Satz von Stokes gilt auch noch, wenn M nur glatt bis auf z -dim Nullmenge, und ∂M glatt bis auf $z-1$ -dim Nullmenge
 z.B. $M =$ Oberfläche von Würfel ohne "Deckel" in \mathbb{R}^3 :

